

ШИРОКОПОЛОСНЫЙ СПЕКТРОМЕТР ДЛЯ Я.М.Р.-ИССЛЕДОВАНИЙ

© 2011 г. А. Ю. Семанин*, **, Г. Д. Соколов*, **, А. М. Тихонов*

*Институт физических проблем им. П.Л. Капицы РАН

Россия, 119334, Москва, ул. Косыгина, 2

E-mail: tikhonov@kapitza.ras.ru

**Московский физико-технический институт

Россия, 141700, Долгопрудный Московской обл., Институтский пер., 9

Поступила в редакцию 30.07.2010 г.

Описана конструкция широкополосного спектрометра дециметрового диапазона (200–900 МГц) с индукцией магнитного поля до ~10 Тл, предназначенного для исследования при низких температурах (4.2–1.3 К) электронно-ядерных колебаний в антиферромагнетиках. По я.м.р.-спектру $^{55}\text{Mn}^{2+}$ определено значение критического поля $H_c = 2.5 \pm 0.3$ Тл переориентационного перехода в неколлинеарном антиферромагнетике $\text{Mn}_3\text{Al}_2\text{Ge}_3\text{O}_{12}$ при температуре $T \approx 1.3$ К.

Особенностью резонансных свойств антиферромагнетиков с магнитными ионами $^{55}\text{Mn}^{2+}$ (100% изотопный состав) при температурах $T \sim 1$ К является корреляция колебаний ядер с колебаниями электронной системы, приводящая к сильной частотно-полевой зависимости спектра ядерного магнитного резонанса (я.м.р.) или к динамическому сдвигу его частоты [1–3]. В легкоплоскостных антиферромагнетиках с линейной по полю модой антиферромагнитного резонанса (например, MnCO_3) динамический сдвиг частоты я.м.р. наблюдается в магнитных полях до $H \approx 0.5$ Тл [4]. В неколлинеарных антиферромагнетиках (например, CsMnBr_3), взаимодействие электронных и ядерных колебаний происходит в более значительном интервале магнитных полей (~4 Тл) [5, 6].

Спектр я.м.р. магнитных ионов содержит информацию о структуре основного состояния антиферромагнетика, о фазовых переходах в нем и о его низкочастотной спиновой динамике [7]. Диапазон частот, в котором обычно регистрируется спектр я.м.р., составляет 200–700 МГц. Большая частота резонанса ($\gamma_n H_n \sim 600$ –700 МГц) в магнитоупорядоченных веществах с ионами Mn^{2+} обусловлена огромным значением среднего локального поля на ядре ($H_n \sim 60$ Тл), которое определяется, в основном, сверхтонким взаимодействием спинов ядра и иона (для ^{55}Mn гиromагнитное отношение $\gamma_n \approx 10.6$ МГц/Тл). Интенсивность сигналов я.м.р. определяется, главным образом, эффектом усиления на ядре радиочастотного поля поперечной составляющей сверхтонкого поля [8], что делает возможным наблюдение сигналов я.м.р. при поляризации внешнего радиочастотного поля $\mathbf{h} \parallel \mathbf{H}$ [9, 10].

Для удовлетворения требований широкополосных измерений удобно использовать схему не-

прерывного я.м.р. с высокодобротным перестраиваемым резонатором [11]. В этой работе представлена конструкция спектрометра дециметрового диапазона длин волн λ (30–100 см), являющаяся модернизацией описанного ранее прибора [5, 6]: в нем аналоговая система автоподстройки частоты заменена цифровой, а также использован принципиально новый резонатор.

Широкополосность спектрометра обеспечивается, в первую очередь, перестраиваемыми резонансными системами двух типов. Первая сконструирована на основе разработанной нами ранее модификации резонатора типа “разорванное кольцо” (split-ring) [12]. Эскиз ее конструкции изображен на рис. 1. Корпус резонатора на рис. 1а представляет собой параллелепипед $10 \times 30 \times 8$ мм (на рис. 1б $8 \times 20 \times 11$ мм), изготовленный из бескислородной меди. Индуктивностью в “разорванном кольце” служит сквозное отверстие $\varnothing 8$ мм, а емкостью – узкая щель (величина зазора ~0.1 мм) в корпусе резонатора. Длина щели L_0 задает собственную частоту резонатора v_0 , так как $v_0 \sim L_0^{-1/2}$.

Для перестройки частоты спектрометра в диапазоне ~200–900 МГц используются три “разорванных кольца” с различной геометрией щели l , в которую, для тонкой настройки собственной частоты, помещаются пластинки слюды толщиной ~50–100 мкм (см. рис. 2). Перемещая медную пластину 2, можно менять емкость между пластиной 1 и резонатором 3 (изолятор 4 – полиэтилентерфталатная пленка толщиной 5–10 мкм), что используется для перестройки резонансной частоты системы. С.в.ч.-мощность подводится коаксиальной линией 5. Индуктивная связь с резонатором осуществляется с помощью петель связи, одна из которых передающая 6, а

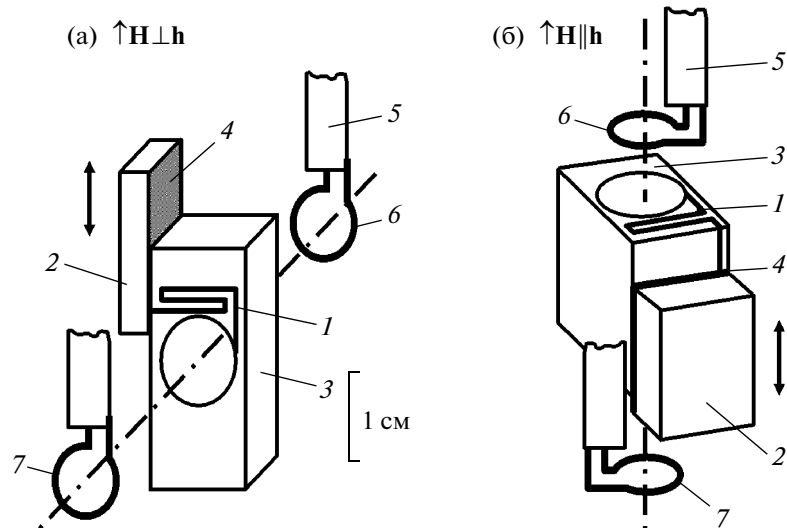


Рис. 1. Поляризация радиочастотного поля в резонансной системе “разорванное кольцо”. 1 – узкая щель, 2 – медная пластина, 3 – резонатор, 4 – полиэтилентерефталатная пленка, 5 – коаксиальная линия, 6, 7 – витки связи.

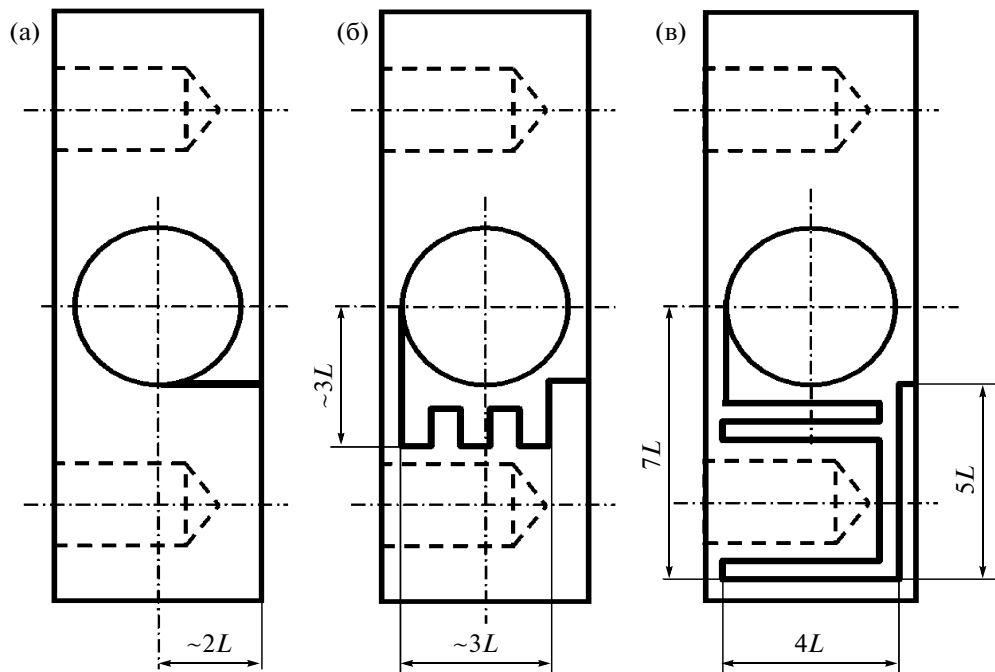


Рис. 2. Геометрические параметры щелей в резонаторах “разорванное кольцо” (поляризация $\mathbf{h} \perp \mathbf{H}$) с собственной частотой v_0 : а – ~900 МГц; б – ~450 МГц; в – ~250 МГц. Диаметр сквозного отверстия составляет 8 мм, $L = 2$ мм.

другая приемная 7. Витки связи $\varnothing \sim 5$ мм расположены на расстоянии ~ 5 мм от граней резонатора (слабая связь). Нагруженная добротность резонансной системы в исследуемом диапазоне зависит от частоты и при температуре жидкого гелия варьируется от 200 до 400. В зависимости от ориентации оси резонатора относительно магнитного поля \mathbf{H} (см. рис. 1), можно проводить

эксперименты при двух поляризациях радиочастотного поля \mathbf{h} : а – $\mathbf{h} \perp \mathbf{H}$, б – $\mathbf{h} \parallel \mathbf{H}$.

Резонансная система второго типа в отличие от первой имеет значительно большую добротность ~ 3000 (см. рис. 3). Она сконструирована на основе закрытого резонатора, представляющего собой закороченную коаксиальную линию длиной 100 мм ($\sim \lambda/4$). Коаксиальный резонатор со-

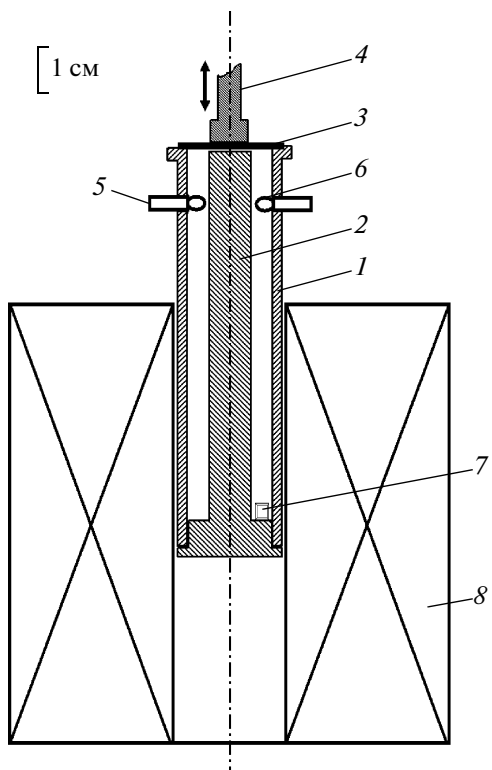


Рис. 3. Низкотемпературная часть я.м.р.-спектрометра с коаксиальным резонатором. 1 – стенки резонатора, 2 – сердечник, 3 – мембрана, 4 – шток, 5 – коаксиальная линия, 6 – виток связи, 7 – образец, 8 – соленоид.

стоит из медного цилиндра 1 ($\mathcal{O}_{\text{внут}}$ 20 мм), медного сердечника 2 (\mathcal{O} 8 мм) и бронзовой мембранны 3 толщиной 0.2 мм. Между сердечником и мембранны имеется узкий зазор (0.2–0.5 мм), величину которого можно менять, оказывая давление на мембранны при помощи штока 4. Связь с резонатором осуществляется с помощью коаксиальных линий 5 через отверстия $\mathcal{O}2$ мм в стенке цилиндра.

В коаксиальном резонаторе линии радиочастотного магнитного поля представляют собой концентрические окружности с центром, лежащим на оси резонатора. Амплитуда этого поля принимает минимальное значение на мембранны, а максимальное на нижней стенке резонатора. Плоские витки связи 6 ориентируются в радиальном направлении перпендикулярно силовым линиям радиочастотного магнитного поля в верхней части резонатора, где его амплитуда мала, и можно организовать достаточно слабую связь.

Внешнее магнитное поле прикладывается вдоль оси резонатора. Кристаллический образец 7 помещается на дно резонатора в максимуме радиочастотного и постоянного магнитного поля ($\mathbf{h} \perp \mathbf{H}$), которое создается с помощью сверхпроводящего соленоида 8 ($\mathcal{O}_{\text{внеш}}$ 80 мм, $\mathcal{O}_{\text{внут}}$ 25 мм). Критический ток соленоида составляет ~ 67 А при макси-

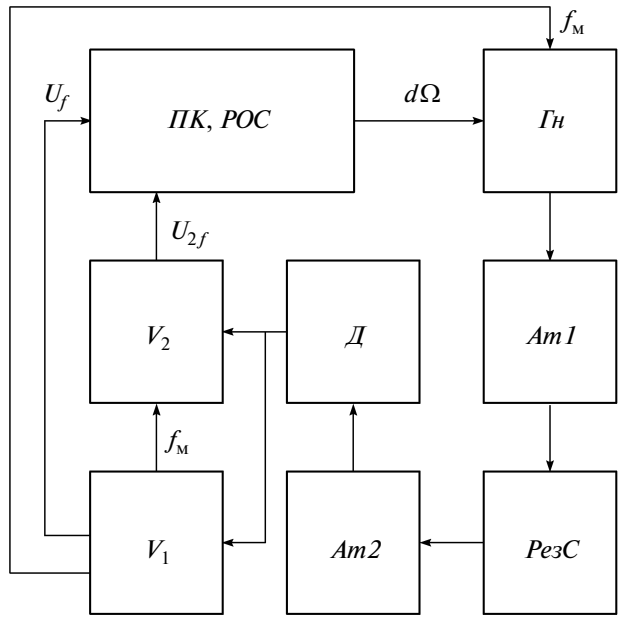


Рис. 4. Блок-схема спектрометра. Все приборы интегрированы в единый контрольно-измерительный комплекс в среде графического программирования LabVIEW (National Instruments). РезС – резонансная система, Гн – с.в.ч.-генератор, Д – квадратичный детектор, V_1 , V_2 – фазочувствительные вольтметры, $Am1$, $Am2$ – аттенюаторы, ПК – персональный компьютер, РОС – регулятор обратной связи, вычисляющий поправку $d\Omega$ к несущей частоте генератора, f_M – сигнал модуляции, U_f – сигнал 1-ой гармоники, U_{2f} – сигнал 2-ой гармоники.

мальной индукции ~ 9.7 Тл. Напряженность магнитного поля в эксперименте определяется по величине тока, выдаваемого биполярным источником питания (Cryomagnetics-4G-100). Расчетная неоднородность поля в центре соленоида составляет $\pm 0.1\%$ в 1 см^3 .

Вся конструкция находится в гелиевой ванне (стеклянный сосуд Дьюара с $\mathcal{O}_{\text{внут}}$ 90 мм). Ее температура контролируется с помощью регулятора давления равновесного насыщенного пара гелия ${}^4\text{He}$ с точностью не хуже ± 0.05 К.

При температуре жидкого гелия собственную частоту системы с коаксиальным резонатором можно варьировать в пределах ~ 600 – 625 МГц, а v_0 системы “разорванное кольцо” с резонатором, изображенным на рис. 2а, можно перестраивать в диапазоне ~ 900 – 500 МГц.

При увеличении магнитного поля до максимальных значений стабильность частоты резонансной системы первого типа составляет ~ 0.1 МГц, в то время как второй тип разонансной системы позволяет фиксировать частоту в эксперименте с точностью ~ 10 кГц – это, по-видимому, связано с большей механической жесткостью коаксиального резонатора.

Блок-схема спектрометра изображена на рис. 4. Частота с.в.ч.-генератора I_h (Agilent N9310A) модулируется низкой частотой ($f_m = 25$ кГц) вспомогательного генератора фазочувствительного вольтметра V_1 (lock-in SR 830). Глубина частотной модуляции 0.1 МГц (максимальная девиация частоты, разрешаемая генератором) значительно меньше типичной ширины линии я.м.р., которая обычно составляет >1 МГц. Для стабилизации частоты генератора на вершине резонансного пика используется система автоматической подстройки частоты (а.п.ч.), настроенная на нуль амплитуды первой гармоники модуляции. Система а.п.ч. включает в себя синхронный детектор и цифровую систему слежения, работающую в среде графического программирования LabView (National Instruments). При расстройке частоты генератора от собственной частоты резонатора на детекторе D (планарный диод) появляется сигнал U_f на частоте модуляции (первая гармоника) с фазой, зависящей от знака рассогласования. Амплитуда этого сигнала, зарегистрированная фазочувствительным вольтметром V_1 , в первом приближении пропорциональна величине рассогласования частоты генератора от собственной частоты резонансной системы РезС. Цифровая система слежения использует продетектированный сигнал рассогласования для вычисления величины поправки $d\Omega$ к несущей частоте с.в.ч.-генератора следующим образом:

$$d\Omega = \alpha P \left(U_f + I \int_0^t U_f dt + D \frac{dU_f}{dt} \right), \quad (1)$$

где P , I и D – параметры обратной связи, зависящие от температуры, добротности и других факторов. Их значения подбираются вручную и обычно $P \gg I$, D . Константа α определяется значением второй производной амплитудно-частотной характеристики системы в вершине резонансного пика на частоте модуляции.

Для сглаживания амплитудно-частотной характеристики подводящего высокочастотного тракта на входе и выходе низкотемпературной части спектрометра устанавливаются развязывающие аттенюаторы $Am1$ (10 дБ) и $Am2$ (3 дБ). Выходная мощность с.в.ч.-генератора составляет 0.1 Вт. Регистрация поглощения в резонансном тракте производится по изменению амплитуды сигнала второй гармоники U_{2f} при помощи второго фазочувствительного вольтметра V_2 (lock-in SR 830).

Спектрометр позволяет производить измерения в двух режимах: сканированием величины магнитного поля при фиксированной частоте генератора; сканированием частоты при фиксированном магнитном поле. Необходимость в этом режиме обусловлена слабой зависимостью частот я.м.р. от поля при отсутствии динамического сдвига частоты. К сожалению, из-за невысокого

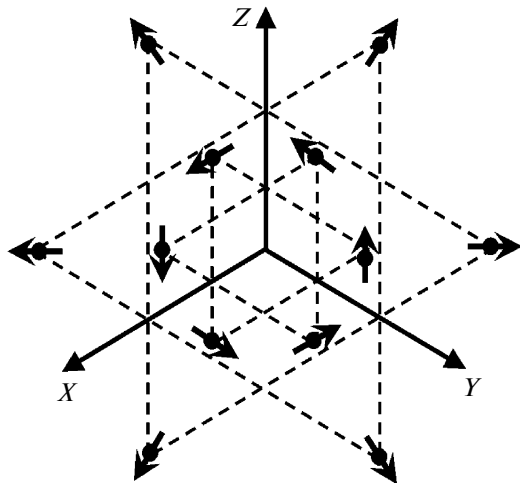


Рис. 5. Магнитная структура неколлинеарного антиферромагнетика $Mn_3Al_2Ge_3O_{12}$.

быстро действия цифровой а.п.ч. (~ 10 Гц) не удалось задействовать этот режим работы спектрометра в полной мере.

С помощью спектрометра мы исследовали переориентационный фазовый переход в кубическом кристалле (O_h^{10}) марганцевого граната $Mn_3Al_2Ge_3O_{12}$, который является неколлинеарным 12-подрешеточным антиферромагнетиком с температурой Нееля $T_N = 6.8$ К (см. рис. 5). Согласно нейтронографическим исследованиям, в магнитоупорядоченном состоянии магнитные моменты Mn^{2+} лежат в плоскости (111) и направлены вдоль или против осей [211], [121], [112]. Таким образом реализуется неколлинеарное треугольное 12-подрешеточное антиферромагнитное упорядочение [13]. Если магнитное поле приложено вдоль направления [001], происходит такой поворот спиновой плоскости, что в полях $H_c \geq 3$ Тл она ориентируется перпендикулярно полю.

На рис. 6 показаны примеры записей я.м.р.-спектров $\mathbf{h} \perp \mathbf{H}$ в монокристалле $Mn_3Al_2Ge_3O_{12}$ при $T \approx 1.3$ К и $\mathbf{H} \parallel [001]$: 1 – 604.4 МГц (коаксиальная резонансная система); 2 – 472.3 МГц (резонансная система “разорванное кольцо”). На всех сканах наблюдается минимум при $H_c = 2.5 \pm 0.3$ Тл, соответствующий полю фазового перехода. Возникновение такой широкой по частоте линии поглощения, по-видимому, обязано взаимодействию с низкочастотной ветвью антиферромагнитного резонанса [14]. Значение критического поля H_c переориентационного перехода при $T \approx 1.3$ К находится в согласии с данными измерения намагниченности [15]. Поглощение в окрестности $H \approx 0$ на скане 2 наблюдалось на частотах ниже 600 МГц и проявляет сильное гистерезисное поведение. По-видимому, оно свидетельствует об исчезновении антиферромагнитных доменов в объ-

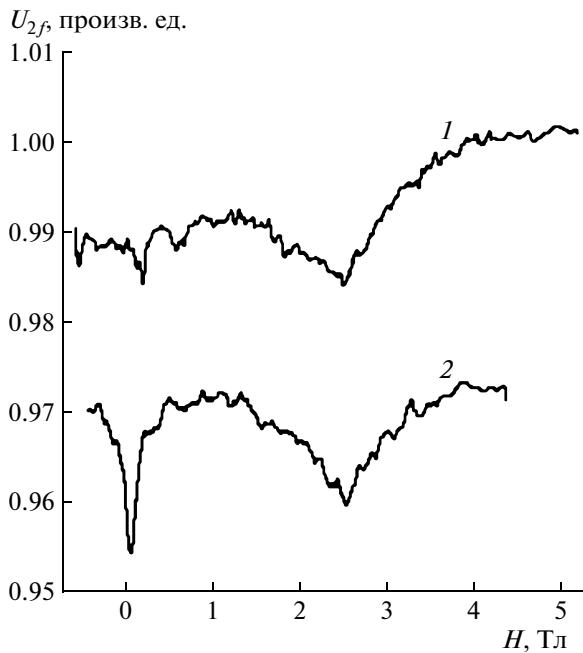


Рис. 6. Примеры записей я.м.р.-спектров при $\mathbf{h} \perp \mathbf{H}$ в монокристалле $\text{Mn}_3\text{Al}_2\text{Ge}_3\text{O}_{12}$ при ≈ 1.3 К и $\mathbf{H} \parallel [001]$: 1 – 604.4 МГц, коаксиальная резонансная система; 2 – 472.3 МГц, резонансная система “разорванное кольцо”.

еме образца. В своих дальнейших экспериментах мы планируем получить более детальную информацию об эволюции магнитной структуры и низкочастотной спиновой динамики $\text{Mn}_3\text{Al}_2\text{Ge}_3\text{O}_{12}$ в магнитном поле.

Авторы выражают благодарность Б.В. Милю за предоставление монокристалла марганцевого

граната, а также признательны А.И. Клееву и В.И. Марченко за полезные обсуждения.

Работа частично выполнена при содействии РФФИ (грант 090212341).

СПИСОК ЛИТЕРАТУРЫ

1. *De Gennes P.G., Pincus P., Hartmann-Bourtron F., Winter J.M.* // Phys. Rev. 1963. V. 129. P. 1105.
2. *Туров Е.А., Петров М.П.* Я.М.Р. в ферро- и антиферромагнетиках. М.: Наука, 1969.
3. *Куркин М.И., Туров Е.А.* Я.М.Р. в магнитоупорядоченных веществах и его применение. М.: Наука, 1990.
4. *Боровик-Романов А.С., Тулин В.А.* // Письма в ЖЭТФ. 1965. Т. 1/5. С. 18.
5. *Боровик-Романов А.С., Петров С.В., Тихонов А.М., Думеш Б.С.* // ЖЭТФ. 1998. Т. 86. С. 197.
6. *Тихонов А.М.* Дис. ... канд. физ.-мат. наук. М.: ИФП, 1998. 114 с.
7. *Марченко В.И., Тихонов А.М.* // Письма в ЖЭТФ. 1999. Т. 69. С. 41.
8. *Боровик-Романов А.С., Буньков Ю.М., Думеш Б.С.* // УФН. 1984. Т. 27. С. 235.
9. *Думеш Б.С., Куркин М.И., Петров С.В., Тихонов А.М.* // ЖЭТФ. 1999. Т. 88. С. 1221.
10. *Tikhonov A.M., Petrov S.V.* // Phys. Rev. B. 2000. V. 61. P. 9629.
11. *Думеш Б.С.* // ПТЭ. 1986. № 1. С. 136.
12. *Hardy W.N., Whitehead L.D.* // Rev. Scien. Instrum. 1981. V. 52. P. 213.
13. *Prandl* // Phys. Stat. Sol. 1973. V. B55. P. K159.
14. *Прозорова Л.А., Марченко В.И., Красняк Ю.В.* // Письма в ЖЭТФ. 1985. Т. 41. С. 522.
15. *Казей З.А., Колмакова Н.П., Леванидов М.В. и др.* // ЖЭТФ. 1987. Т. 92. С. 2277.